

## اثر مایع یونی ۱-بوتیل-۳-متیل ایمیدازولیم بر مید به عنوان «ماده کمکی» در تشکیل سامانه‌های دوفازی آبی {پلی‌اتیلن گلیکول ۶۰۰-پتاسیم سیترات} در دماهای متفاوت

شعله حمزه‌زاده<sup>۱\*</sup> و مصطفی عباسی<sup>۲</sup>

۱. استادیار شیمی فیزیک، پژوهشگاه شیمی و مهندسی شیمی ایران، تهران، ایران.
۲. دانشجوی کارشناسی ارشد شیمی فیزیک، پژوهشگاه شیمی و مهندسی شیمی ایران، تهران، ایران.

دریافت: آبان ۹۹ بازنگری: اسفند ۹۹ پذیرش: فروردین ۱۴۰۰

 20.1001.1.17359937.1400.15.3.6.5

### چکیده

در زیستفناوری جداسازی، استخراج و خالص‌سازی زیست‌مولکول‌ها با استفاده از سامانه‌های دوفازی آبی به عنوان یک جایگزین مناسب و پایدار برای سامانه‌های دوفازی رایج آب-حلال آلی همواره مورد توجه پژوهشگران فرایند بوده است. یکی از راهکارهای پژوهشگران برای بهبود کارایی این سامانه‌ها در فرایند استخراج استفاده از مایع‌های یونی به عنوان یک عامل کمکی است. از این‌رو، در این مقاله تأثیر مایع یونی ۱-بوتیل-۳-متیل ایمیدازولیم بر مید [C<sub>4</sub>C<sub>1</sub>im]Br در تشکیل سامانه دوفازی آبی متشکل از بسیار پلی‌اتیلن گلیکول ۶۰۰ و نمک پتاسیم سیترات بررسی شد. منحنی باینودال و داده‌های تجربی تعادل مایع-مایع سامانه دوفازی آبی موردنظر در حضور مایع یونی C<sub>4</sub>C<sub>1</sub>im]Br به همراه ضرایب توزیع بین دوفاز مایع یونی در دو دمای ۲۷۸/۱۵ و K ۳۱۸/۱۵ تعیین شد. نتیجه‌های به دست آمده نشان داد که با افزایش دما، توانایی مایع یونی در تقویت تشکیل سامانه دوفازی آبی کاهش یافت، به طوری که در دمای K ۳۱۸/۱۵ افزودن مایع یونی موجب تضعیف تشکیل سامانه دوفازی شد. افزون‌براین، ضرایب توزیع بزرگ‌تر از یک برای C<sub>4</sub>C<sub>1</sub>im]Br در همه ترکیب‌درصدها و دماهای موردمطالعه به دست آمدند که با افزایش طول خطوط ارتباطی در یک دمای معین افزایش می‌یافتنند.

**واژه‌های کلیدی:** سامانه دوفازی آبی، پلی‌اتیلن گلیکول، پتاسیم سیترات، مایع یونی، دما

## مقدمه

اقتصادی‌تر و کارآمدتر باشند و از این‌رو، بیشتر مورد توجه پژوهشگران این شاخه از علم قرار بگیرند. پلی‌اتیلن گلیکول‌ها به دلیل داشتن ویژگی‌هایی مانند قابلیت بالای زیست تخریب‌پذیری، سمیت پایین، فاربریت کم، قابلیت بالای انحلال پذیری در آب، و ارزان قیمت بودن جزء بسیارهایی هستند که در پژوهش‌های بنیادی و کاربردی به طور گسترده در سامانه‌های بسیار-نمک برای جداسازی زیست مولکول‌های حیاتی به کار گرفته می‌شوند. از طرفی، ماهیت آبدوستی پلی‌اتیلن گلیکول‌ها در کنار امکان محدود طراحی ساختار در آن‌ها که تنها از راه تعییر وزن مولکولی یا عامل دارکردن که هزینه بالایی دارد، قابل دستیابی است، کاربرد این روش را برای استخراج گونه‌های متنوع زیست‌مولکول‌ها محدود می‌کند. برای چیزگی بر این محدودیت، در سال ۲۰۱۰، پریرا<sup>۱</sup> و همکارانش روش جدیدی را برپایه به کار گیری «مایع‌های یونی»<sup>۲</sup> به عنوان «عامل کمکی»<sup>۳</sup> به کار برdenد. آن‌ها نشان دادند که توانایی سامانه‌های دوفازی آبی رایج بسیار-نمک در استخراج زیست‌مولکول‌ها می‌تواند از راه بهینه‌سازی ویژگی فیزیکی-شیمیایی فاز غنی از PEG (فاز استخراج کننده) با مقادیر کمی از یک مایع یونی مناسب به عنوان افزودنی، افزایش یابد<sup>[۷]</sup>. مایع‌های یونی نمک‌هایی با دمای ذوب کمتر از ۱۰۰ °C هستند. به طور کلی، این ترکیب‌ها از یک آنیون آلی/معدنی به نسبت ساده و یک کاتیون آلی حجمی تشکیل شده‌اند<sup>[۸]</sup> و بدین ترتیب ویژگی چشمگیر بسیاری دارند. برای مثال، می‌توان به فشار بخار ناچیز، اشتغال ناپذیری، پایداری زیاد گرمایی و شیمیایی، مایع بودن در گستره وسیع دمایی، قطبیت قابل تعديل، گران‌روی پایین، قابلیت انحلال بسیاری از ترکیب‌های آلی، معدنی و بسیاری، و از همه مهم‌تر قابلیت طراحی ترکیب‌هایی با ویژگی معین و مناسب فرایند اشاره کرد<sup>[۹] و [۱۰]</sup>. ویژگی‌های بی‌همتای یادشده موجب شد که این ترکیب‌ها

امروزه، «سامانه‌های دوفازی آبی»<sup>۴</sup> به عنوان یک جایگزین مناسب و پایدار زیست‌محیطی و اقتصادی برای سامانه‌های رایج آب-حلال آلتی در فرایندهای جداسازی مبتنی بر روش «استخراج مایع-مایع» به طور کامل شناخته شده‌اند. سامانه‌های دوفازی آبی به دلیل اینکه از دو فاز امتزاج‌ناپذیر غنی از آب تشکیل می‌شوند در مقایسه با سامانه‌های دوفازی رایج مبتنی بر حلال‌های آلتی فرار به طور کامل غیرسمی و زیست‌سازگار هستند. سامانه‌های دوفازی آبی از زمان معرفی توسط آلبرتsson [۱] در اواسط دهه ۱۹۵۰، به یک روش بسیار کارآمد با گستره کاربرد بسیار وسیع در زیست‌شیمی، زیست‌شناسی سلولی و زیست‌فتاوری تبدیل شده‌اند. بسیاری از فراورده‌های زیست‌فتاوری مورد استفاده در صنایع طریف و تخصصی مانند صنایع دارویی، صنایع بهداشتی و تغذیه، صنایع کشاورزی و غیره، در محیط‌های آبی تولید می‌شوند که کاربرد آن‌ها مستلزم جداسازی آن‌ها از محیط آبی و دیگر اجزاء محلول است. سامانه‌های دوفازی آبی به طور معمول از انحلال دو بسیار محلول در آب اما ناسازگار با هم مانند پلی(اتیلن گلیکول)<sup>۵</sup> و دیکستران، و یا یک بسیار آبدوست و یک نمک «سازنده ساختار آب»<sup>۶</sup> مانند پلی‌اتیلن گلیکول و نمک فسفات پتاسیم در بالاتر از یک «غلظت آستانه»<sup>۷</sup> معین در آب ایجاد می‌شوند [۲ تا ۶]. انتخاب نوع سامانه دوفازی آبی بستگی به نوع مولکول زیستی و نکات اقتصادی دارد. سامانه‌های دوفازی آبی بسیار-نمک نسبت به سامانه‌های دوفازی آبی مشکل از دو بسیار مزایایی مانند کشش‌سطحی بین دو فاز کمتر، گران‌روی کمتر، سازگاری بیشتر با مواد زیستی، زمان جداسازی کمتر و هزینه فرایند کمتر دارند که موجب می‌شود برای فرایندهای پایین‌دستی در زیست‌فتاوری

- 
- |   |                              |
|---|------------------------------|
| 1. Aqueous biphasic systems (ABS), Aqueous two-phase systems (ATPS) | 2. Polyethylene glycol (PEG) |
| 3. Water-structure making   | 5. Pereira                   |
| 6. Ionic liquids (ILs)  | 7. Adjuvants                 |

- |                              |
|------------------------------|
| 2. Polyethylene glycol (PEG) |
| 5. Pereira                   |

۳۱۸/۱۵ و K ۲۷۸/۱۵ تعیین شد. نتیجه‌های این مطالعه در دمای K ۲۹۸/۱۵ پیش‌تر در منابع علمی گزارش شده است [۱۸]. قابلیت چنین سامانه‌های دوفازی آبی به عنوان محیط استخراج برای مولکول‌هایی که قابلیت ایجاد برهمنش‌های ویژه و قوی با مایع‌های یونی را دارند، می‌تواند با تمایل مایع یونی به توزیع به فاز غنی از PEG (فاز استخراج کننده) ارزیابی شود. نتیجه‌های این مطالعه‌ها موجب پیشرفت فرایندهای جداسازی زیست‌فناوری به ویژه در استخراج مولکول‌های زیستی می‌شود و می‌تواند به جای روش عامل‌دارکردن پلی‌اتیلن گلیکول که هزینه بالاتری دارد، استفاده شود.

### بخش تجربی

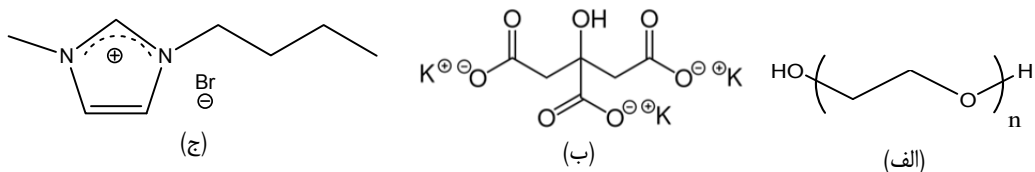
#### مواد و روش‌ها

مواد شیمیایی مورد استفاده در این کار پژوهشی و ساختار شیمیایی آن‌ها به ترتیب در جدول ۱ و شکل ۱ ارایه شده است. همه این مواد بدون هیچ‌گونه عملیات خالص‌سازی به کارگرفته شدند. برای تهیه محلول‌های آبی موردنظر، از آب یون‌زدوده استفاده شد. همه محلول‌های موردنیاز برای اجرای آزمایش‌ها به صورت وزنی و با یک ترازوی دیجیتال (Sartorius، مدل ED224S، آلمان) با دقت  $g \pm 10^{-4}$  تهیه شدند. دما با یک سامانه گردشی سرمایشی-گرمایشی (Huber، مدل CC Unistat، آلمان) با دقت  $^{\circ}\text{C} \pm 0.1$  ثابت شد. همه آزمایش‌ها در دو دمای ۳۱۸/۱۵ و K ۲۷۸/۱۵ و فشار ۱ اتمسفر انجام شد.

برای توسعه فرایندهای استخراج جدید و بهینه‌سازی فرایندهای استخراج موجود در راستای رسیدن به اهداف «شیمی سبز» به طور فزاینده‌ای مورد توجه پژوهشگران قرار بگیرند [۱۳ تا ۱۱]. در سال‌های اخیر، تأثیر مایع‌های یونی متفاوت به عنوان عامل کمکی بر تشکیل سامانه‌های دوفازی آبی مبتنی بر PEG و استخراج طیف گسترده‌ای از ترکیب‌های برسی شده است [۱۴ و ۷ تا ۲۸]. با این حال، برای توسعه این روش به اطلاعات بیشتری در مورد تأثیر مایع‌های یونی در تشکیل دو فاز و قابلیت استخراج سامانه دوفازی آبی نیاز است. برای کاربرد این سامانه‌ها در طراحی فرایندهای مربوط به جداسازی ذره‌های زیستی، وجود اطلاعات کافی به ویژه در مورد رفتار تعادلی فازی آن‌ها لازم است. در این کار پژوهشی اثر مایع یونی ۱-بوتیل-۳-متیل ایمیدازولیم برمید ( $[\text{C}_4\text{C}_1\text{im}] \text{Br}$ ) بر تشکیل دوفاز در سامانه آبی برپایه بسپار پلی‌اتیلن گلیکول ۶۰۰ و نمک پتابسیم سیترات در دماهای متفاوت برسی شد. گران‌روی کم PEG ۶۰۰ انتقال جرم را بهمود می‌بخشد و مصرف انرژی را کاهش می‌دهد. نمک‌های سیترات نیز زیست‌تخریب‌پذیر و غیرسمی هستند [۲۹] و از این‌رو، می‌توانند محیط پاکی را برای جداسازی سبز زیست‌مولکول‌ها برای رسیدن به اهداف شیمی سبز فراهم کنند. برای مطالعه اثر مایع یونی  $[\text{C}_4\text{C}_1\text{im}] \text{Br}$  بر توانایی تشکیل دوفاز در سامانه موردمطالعه در دماهای متفاوت منحنی باینودال و داده‌های تعادل مایع-مایع در بود و نبود مقدار کمی (۵wt%) از مایع یونی  $[\text{C}_4\text{C}_1\text{im}] \text{Br}$  به ۱-بوتیل-۳-متیل ایمیدازولیوم برمید ( $[\text{C}_4\text{C}_1\text{im}] \text{Br}$ ) همراه ضرایب توزیع بین دوفاز مایع یونی در دو دمای

جدول ۱ نام، فرمول، شرکت سازنده و خلوص مواد شیمیایی

ماند شیمیایی	فرمول شیمیایی	شرکت سازنده	خلوص، کسرجرمی
پلی‌اتیلن گلیکول ۶۰۰ (PEG600)	$\text{C}_{2n}\text{H}_{4n+2}\text{O}_{n+1}$ ( $n \approx 13$ )	مرک	—
تری پتابسیم سیترات	$\text{K}_3\text{C}_6\text{H}_5\text{O}_7 \cdot \text{H}_2\text{O}$	مرک	>=۰.۹۹۵
۱-بوتیل-۳-متیل ایمیدازولیوم برمید	$\text{C}_8\text{H}_{15}\text{BrN}_2$	مرک	>=۰.۹۸۰



شکل ۱ ساختار شیمیایی پلی‌اتیلن گلیکول (الف)، تری پتاسیم سیترات (ب) و ۱-بوتیل-۳-متیل ایمیدازولیوم بر میبد (ج)

نمک مورد مطالعه، پیش از آزمایش یک محلول آبی بسپار با غلظت معین و با ۵ wt% از مایع یونی، یک محلول آبی نمک با غلظت معین و با ۵ wt% از مایع یونی و یک محلول آبی ۵ wt% از مایع یونی تهیه و برای تعیین منحنی باینودال به کاربرده شد.

#### تعیین خطوط ارتباطی\*

برای به دست آوردن خطوط ارتباطی، از ناحیه دوفازی منحنی باینودال نمونه هایی (حدود ۱۰ گرم) با ترکیب درصد معین از بسپار، نمک و آب در لوله های به طور کامل سربسته تهیه شد. در سامانه های چهارتایی غلظت مایع یونی به عنوان عامل کمکی در هر نمونه ۵ wt% بود. ترکیب درصد نمونه ها در جدول ۲ ارایه شده است. برای دستیابی به نتیجه مطلوب، نمونه ها به مدت ۳۰ دقیقه به شدت تکان داده شدند. سپس، ۱۵ دقیقه در دستگاه گریزانه با سرعت ۲۰۰۰ دور در دقیقه قرارداده شدند. پس از آن، نمونه ها در حمام آب با دمای موردنظر قرارداده شدند تا به تعادل رسیده و دو فاز هم زیست به طور کامل شفاف از یکدیگر جدا شوند. پس از برقراری تعادل، برای تجزیه فازها، از فازهای بالا و پایین با سرنگ نمونه برداری شد. سپس، غلظت نمک در هر فاز با اندازه گیری غلظت پتاسیم با یک نورسنجی شعله ای<sup>۵</sup> (Sherwood، مدل ۴۱۰، انگلستان)، و غلظت بسپار به روش تعیین ضریب شکست نمونه ها در دمای ۲۵°C [۳۱] با یک شکست سنج (ATAGO، مدل DR-A1، ژاپن) با دقت ۱۰<sup>-۴</sup> متر

تعیین منحنی باینودال<sup>۱</sup> منحنی ای که منطقه دوفازی را از منطقه یک فازی تمایز می کند منحنی باینودال (حالیت) نامیده می شود. برای به دست آوردن این منحنی در سامانه های مورد مطالعه از روش « نقطه ابری » [۵] و دستگاهی به تقریب شبیه به آنچه آندرو<sup>۳</sup> و همکارانش [۳۰] در مطالعه سامانه های دو فازی آبی بسپار - نمک به کار برده اند، استفاده شد [۲۰ تا ۲۷]. بدین ترتیب، پیش از هر آزمایش یک محلول آبی بسپار با غلظت معین و یک محلول آبی نمک با غلظت معین تهیه شد. برای به دست آوردن داده های منحنی باینودال، محلول آبی بسپار با غلظت معین پس از رسیدن به تعادل دمایی با محلولی از نمک با غلظت معین تیتر شد تا هنگامی که محلول کدر شود. کدر شدن محلول نشانه تشکیل سامانه دوفازی و نقطه پایانی تیتر شدن بود. برای هم زدن محلول از یک همزن مغناطیسی با سرعت ثابت استفاده شد. با داشتن وزن محلول آبی نمک افزوده شده، درصد وزنی بسپار و نمک در این نقطه محاسبه شد. این نقطه یک نقطه از منحنی باینودال بود. سپس، با افزودن قطره قطره آب به محلول، محلول از حالت کدر به شفاف تبدیل شد. تیتر شدن تا کامل - شدن منحنی باینودال تکرار شد. از رسم درصد وزنی بسپار بر حسب درصد وزنی نمک، منحنی باینودال به دست آمد. برای مطالعه اثر مایع یونی بر منحنی باینودال سامانه بسپار -

1. Binodal curve  
4. Tie-lines (TLs)

2. Cloud point  
5. Flame photometry

3. Andrew

$$n_D = n_0 + a_p w_p + a_s w_s + a_{IL} w_{IL} \quad (1)$$

که در آن،  $n_0$  ضریب شکست آب خالص است که در دمای  $25^\circ\text{C}$ ، برابر با  $1/3325$  است. برای سامانه دوفازی آبی موردمطالعه ضرایب  $a_p$  و  $a_{IL}$  در دمای  $25^\circ\text{C}$  پیش‌تر گزارش شده است [۱۸]. شایان ذکر است که این معادله تنها برای محلول‌های رقیق نتیجه‌های دقیقی را به دست می‌دهد [۱۸]. بنابراین، برای به دست آوردن نتیجه مطلوب لازم است که نمونه‌ها تا غلظت‌های مناسب رقیق شوند. این روش، در سال‌های اخیر، برای تعیین تجربی خطوط ارتیاطی برخی سامانه‌های دوفازی آبی مبتنی بر PEG و مایع یونی به عنوان عامل کمکی به کاررفته است [۱۷ تا ۲۰].

$\times 1 \pm 1$  تعیین شد. اندازه‌گیری غلظت مایع یونی نیز در نمونه‌ها با طیف‌شناختی فرابینفشن با یک طیف‌سنج (Perkin Elmer Lambda 25، آمریکا) در طول موج ۲۱۱ نانومتر انجام شد [۷ و ۱۳]. طیف جذبی فرابینفشن مایع یونی  $[\text{C}_4\text{C}_1\text{im}]Br$  در آب در شکل ۲ ارایه شده است. برای حذف مزاحمت‌های ناشی از حضور سایر ترکیب‌ها در نمونه‌ها برای هر نمونه یک محلول شاهد حاوی همه اجزای نمونه فازی به جز مایع یونی نیز تهیه شد. برای محلول‌های آبی رقیق رابطه‌ای که وابستگی ضریب شکست به کسر وزنی بسپار،  $w_p$ ، نمک،  $w_s$ ، و مایع یونی،  $w_{IL}$ ، را نشان دهد می‌تواند به صورت معادله ۱ تعریف شود [۳۱].

جدول ۲ ترکیب کلی،  $w^*$ ، سامانه‌های دوفازی آبی{PEG 600 (1) +  $\text{K}_3\text{C}_6\text{H}_5\text{O}_7$  (2) +  $\text{H}_2\text{O}$  (3) + ۵ wt%  $[\text{C}_4\text{C}_1\text{im}]Br$  (4)}

بدون مایع یونی			با ۵ wt% مایع یونی $[\text{C}_4\text{C}_1\text{im}]Br$				$T$ (K)	نمونه
$100w_1$	$100w_2$	$100w_3$	$100w_1$	$100w_2$	$100w_3$	$100w_4$		
—	—	—	۲۵,۰۵	۲۰,۰۲	۴۹,۹۴	۴,۹۹	۲۷۸,۱۵	A
—	—	—	۲۷,۰۰	۲۲,۹۸	۴۵,۰۱	۵,۰۱		B
۳۰,۰۶	۲۵,۹۹	۴۳,۹۵	۳۰,۰۶	۲۵,۹۸	۳۸,۹۵	۵,۰۱		C
۳۱,۵۵	۲۷,۴۹	۴۰,۹۵	۳۱,۵۲	۲۷,۵۰	۳۵,۹۸	۵,۰۰		D
۳۳,۰۶	۲۹,۰۰	۳۷,۹۴	۳۲,۹۹	۲۹,۰۹	۳۲,۸۷	۵,۰۵		E
۳۴,۰۵	۳۰,۵۰	۳۴,۹۵	۳۴,۴۸	۳۰,۴۹	۲۹,۹۹	۵,۰۴		F
۳۶,۰۰	۳۱,۹۷	۳۲,۰۳	۳۶,۰۰	۳۱,۸۳	۲۷,۱۲	۵,۰۵		G
۲۵,۰۳	۱۹,۹۹	۵۴,۹۸	۲۵,۰۸	۱۹,۹۳	۵۰,۰۴	۴,۹۵	۳۱۸,۱۵	A
۲۷,۰۲	۲۳,۰۰	۴۹,۹۸	۲۷,۰۴	۲۲,۹۷	۴۴,۹۹	۵,۰۰		B
۳۰,۰۶	۲۵,۹۷	۴۳,۹۷	۳۰,۰۶	۲۵,۸۵	۳۹,۰۶	۵,۰۳		C
۳۳,۰۲	۲۹,۰۱	۳۷,۹۷	۳۲,۹۹	۲۸,۹۵	۳۳,۰۳	۵,۰۳		E
۳۶,۰۲	۲۲,۰۱	۳۱,۹۷	۳۶,۰۰	۳۲,۰۳	۲۷,۹۷	۵,۰۰		G

\* کسر جرمی جزء ترکیبی ۱ (یعنی، بسپار (۱)، نمک (۲)، آب (۳) و مایع یونی (۴)) در سامانه

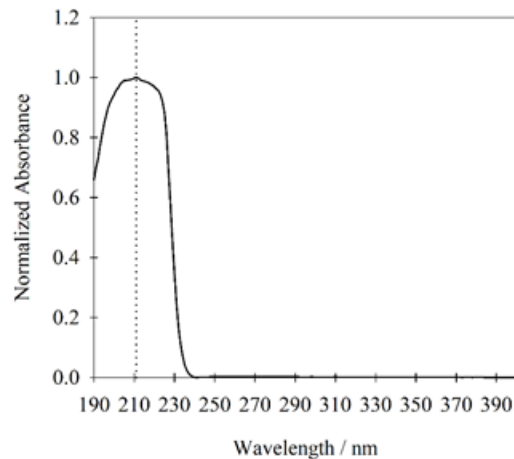
## نتیجه‌ها و بحث

### نمودار فاز

یک نمودار فاز از یک منحنی باینodal که ناحیه دو فازی را از ناحیه یک فازی تمایز می‌سازد و خطوط ارتباطی، PEG 600 تشكیل می‌شود. برای سامانه‌های دوفازی آبی {PEG 600 + ۵ wt% [C<sub>4</sub>C<sub>1</sub>im]Br} و {+ K<sub>3</sub>C<sub>6</sub>H<sub>5</sub>O<sub>7</sub>}، داده‌های تجربی منحنی باینodal و خطوط ارتباطی در دو دمای ۲۷۸/۱۵ و ۳۱۸/۱۵ K و فشار ۱ اتمسفر به ترتیب در جدول‌های ۳ و ۴ ارایه شده است. طول خطوط ارتباطی (TLL) یک شاخص مهم در نمودار فاز است که با معادله ۳ محاسبه می‌شود [۴].

$$TLL = [(w_1^t - w_1^b)^2 + (w_2^t - w_2^b)^2]^{0.5} \quad (3)$$

که در آن  $w_1$  و  $w_2$  به ترتیب غلظت‌های تعادلی (برحسب کسر وزنی) بسپار و نمک است. مقادیر طول خطوط ارتباطی برای سامانه‌های دوفازی آبی مورد مطالعه نیز در ستون آخر جدول ۴ ارائه شده است. بیشتر از شاخص عددی TLL که معرف تفاوت ترکیب دوفاز است برای بیان اثر ترکیب سامانه بر توزیع پذیری مواد بین دوفاز استفاده می‌شود [۱۲]. در شکل ۳ نمودارهای فاز به دست آمده برای سامانه‌های دوفازی آبی موردمطالعه در این پژوهش در دمای K ۲۷۸/۱۵ در نمودار مثلثی رسم شده است.



شکل ۲ طیف جذبی فرابنفش مایع یونی [C<sub>4</sub>C<sub>1</sub>im]Br در آب

تعیین ضریب توزیع مایع یونی پس از تعیین غلظت مایع یونی در هر فاز، ضریب توزیع بین دو فاز مایع یونی،  $K_{IL}$ ، با معادله ۲ محاسبه می‌شود.

$$K_{IL} = (w_{IL}^t / w_{IL}^b) \quad (2)$$

که در آن  $w_{IL}^t$  و  $w_{IL}^b$  به ترتیب غلظت‌های تعادلی (برحسب کسر وزنی) مایع یونی، IL، در فاز بالای غنی از بسپار، t، و فاز پایین غنی از نمک، b، است.

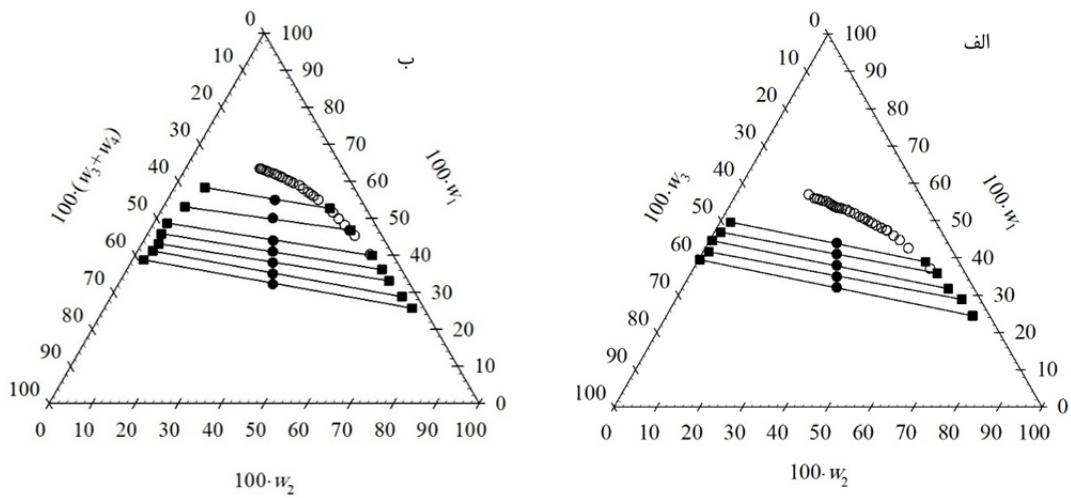
جدول ۳ داده‌های تجربی منحنی باینودال سامانه دوفازی آبی  $\{ \text{PEG } 600 \text{ (1)} + \text{K}_3\text{C}_6\text{H}_5\text{O}_7 \text{ (2)} \}$  در دو دمای  $278/15$  و  $318/15$  K  
فشار یک اتمسفر

$T = 278/15$ K						$T = 318/15$ K						نمونه
$100w_1$	$100w_2$	$100w_1$	$100w_2$	$100w_1$	$100w_2$	$100w_1$	$100w_2$	$100w_1$	$100w_2$	$100w_1$	$100w_2$	
۵۰/۳۰	۷/۶۴	۳۲/۵۸	۱۶/۴۸	۲۳/۵۴	۲۲/۰۲	۲۳/۵۲	۱۱/۳۲	۱۶/۱۸	۱۵/۳۵	۱۱/۴۱	۱۹/۱۸	بدون بنج بوفی
۴۶/۸۲	۹/۹۶	۳۱/۵۵	۱۷/۱۳	۲۳/۰۷	۲۲/۳۸	۲۲/۱۸	۱۲/۰۵	۱۵/۶۶	۱۵/۸۱	۱۱/۱۱	۱۹/۴۶	
۴۳/۶۰	۱۱/۴۰	۲۹/۹۶	۱۷/۸۸	۲۲/۷۰	۲۲/۴۵	۲۱/۱۶	۱۲/۳۳	۱۵/۲۲	۱۶/۰۹	۱۰/۸۵	۱۹/۶۸	
۴۱/۷۳	۱۲/۰۹	۲۸/۶۶	۱۸/۷۵	۲۱/۷۷	۲۲/۸۸	۲۰/۳۶	۱۲/۵۶	۱۴/۷۵	۱۶/۵۱	۱۰/۵۷	۱۹/۸۲	
۳۹/۸۴	۱۲/۷۲	۲۷/۹۳	۱۹/۲۱	۲۰/۸۲	۲۳/۷۱	۱۹/۸۱	۱۲/۹۹	۱۴/۱۴	۱۶/۹۹	۹/۰۷	۲۱/۰۶	
۳۹/۰۴	۱۲/۹۲	۲۷/۵۱	۱۹/۱۳	۱۹/۹۹	۲۴/۲۰	۱۹/۱۵	۱۳/۱۷	۱۳/۸۴	۱۷/۴۰	—	—	
۳۸/۲۸	۱۳/۴۳	۲۶/۴۰	۲۰/۱۷	۱۹/۲۹	۲۴/۶۹	۱۸/۷۶	۱۳/۴۷	۱۳/۱۷	۱۷/۷۴	—	—	
۳۶/۷۰	۱۴/۳۲	۲۵/۶۵	۲۰/۷۴	۱۸/۶۳	۲۵/۲۵	۱۸/۳۶	۱۳/۸۰	۱۲/۷۴	۱۸/۰۹	—	—	
۳۵/۴۶	۱۴/۹۸	۲۵/۱۲	۲۱/۲۲	۱۷/۸۱	۲۵/۷۶	۱۷/۸۱	۱۴/۱۴	۱۲/۳۳	۱۸/۴۸	—	—	
۳۴/۲۰	۱۵/۶۴	۲۶/۶۴	۲۱/۴۷	۱۷/۳۴	۲۶/۰۰	۱۷/۲۷	۱۴/۵۵	۱۱/۹۷	۱۸/۷۷	—	—	
۳۳/۴۴	۱۶/۱۸	۲۶/۰۷	۲۱/۸۴	۱۷/۰۰	۲۶/۰۵	۱۶/۷۶	۱۴/۸۱	۱۱/۶۶	۱۹/۰۱	—	—	
۵۴/۴۹	۵/۳۰	۳۲/۵۷	۱۰/۹۳	۲۱/۳۵	۱۶/۶۴	۵۱/۳۵	۵/۱۰	۲۹/۴۸	۱۱/۲۷	۲۰/۶۲	۱۵/۶۸	با ۵ wt% بوفی [C <sub>4</sub> C <sub>1</sub> im]Br
۵۱/۳۵	۵/۸۱	۳۱/۷۱	۱۱/۲۸	۲۰/۶۶	۱۷/۰۳	۴۸/۳۶	۵/۵۰	۲۸/۵۷	۱۱/۷۰	۱۹/۵۲	۱۶/۳۳	
۴۸/۴۳	۶/۳۲	۳۰/۱۲	۱۱/۹۵	۱۹/۹۱	۱۷/۶۴	۴۳/۱۶	۶/۷۶	۲۶/۸۵	۱۲/۴۵	۱۹/۲۷	۱۶/۵۰	
۴۶/۵۲	۶/۷۶	۲۸/۸۳	۱۲/۳۳	۱۹/۱۰	۱۸/۰۸	۴۰/۰۵	۷/۴۵	۲۵/۹۷	۱۲/۹۱	۱۹/۰۲	۱۶/۶۵	
۴۴/۶۸	۷/۲۲	۲۷/۹۰	۱۲/۹۱	۱۸/۴۱	۱۸/۵۵	۳۸/۷۰	۷/۸۴	۲۵/۱۵	۱۳/۳۶	۱۸/۷۸	۱۶/۷۹	
۴۲/۳۵	۷/۷۶	۲۷/۰۲	۱۳/۴۶	۱۷/۷۷	۱۸/۹۸	۳۷/۵۸	۸/۱۴	۲۴/۳۳	۱۳/۷۷	۱۸/۵۴	۱۶/۹۲	
۴۰/۱۹	۸/۲۵	۲۶/۱۲	۱۳/۹۵	۱۷/۶۶	۱۹/۰۴	۳۵/۱۹	۸/۹۴	۲۳/۸۳	۱۴/۰۱	۱۸/۳۱	۱۷/۰۵	
۳۸/۴۵	۸/۷۷	۲۵/۲۷	۱۴/۴۱	۱۷/۵۷	۱۹/۱۲	۳۴/۲۲	۹/۲۵	۲۳/۶۵	۱۴/۸۶	۱۸/۲۵	۱۷/۳۴	
۳۶/۸۶	۹/۲۶	۲۳/۷۵	۱۵/۳۴	۱۷/۴۶	۱۹/۱۹	۳۳/۲۷	۹/۶۱	۲۲/۸۸	۱۴/۴۵	۱۷/۸۴	۱۷/۳۰	
۳۵/۰۸	۹/۹۴	۲۲/۹۰	۱۵/۷۴	۱۷/۳۴	۱۹/۲۸	۳۱/۳۱	۱۰/۴۴	۲۲/۴۵	۱۴/۶۶	۱۶/۵۹	۱۸/۲۲	
۳۳/۴۷	۱۰/۵۵	۲۲/۰۹	۱۶/۷۰	—	—	۳۰/۳۴	۱۰/۸۸	۲۱/۵۲	۱۵/۱۶	—	—	

جدول ۴ داده‌های تعادل مایع-مایع سامانه‌های دوفازی آبی  $\{ \text{PEG } 600(1) + \text{K}_3\text{C}_6\text{H}_5\text{O}_7(2) + \text{H}_2\text{O}(3) + 5 \text{ wt\% } [\text{C}_4\text{C}_1\text{im}]\text{Br}(4) \}$  در دو دمای  $278/15^\circ\text{C}$  و  $318/15^\circ\text{C}$  و فشار یک اتمسفر

فاز بالا: فاز غنی از بسپار				فاز پایین: فاز غنی از نمک				۱۰۰ TLL	وضعیت	دما (K)	نمونه
۱۰۰ w <sub>1</sub>	۱۰۰ w <sub>2</sub>	۱۰۰ w <sub>3</sub> <sup>*</sup>	۱۰۰ w <sub>4</sub>	۱۰۰ w <sub>1</sub>	۱۰۰ w <sub>2</sub>	۱۰۰ w <sub>3</sub> <sup>*</sup>	۱۰۰ w <sub>4</sub>				
۵۳/۳۱	۷/۷۴	۳۸/۹۵	—	۲/۳۸	۴۸/۰۰	۴۹/۶۲	—	۶۴/۹۰	$[\text{C}_4\text{C}_1\text{im}]\text{Br}$ (5 wt%)	$278/15^\circ\text{C}$	C
۵۷/۵۵	۶/۰۴	۳۵/۹۱	—	۱/۴۱	۵۱/۶۷	۴۶/۹۲	—	۷۲/۰۰			D
۶۲/۱۹	۶/۰۷	۳۱/۷۴	—	۰/۶۲	۵۴/۷۶	۴۴/۶۲	—	۷۷/۹۰			E
۶۶/۷۶	۴/۳۴	۲۸/۹۰	—	۱/۳۴	۵۷/۰۲	۴۲/۳۶	—	۸۴/۶۰			F
۷۱/۵۱	۴/۰۱	۲۴/۴۸	—	۰/۲۸	۶۰/۲۳	۳۷/۴۹	—	۹۰/۵۰			G
۳۸/۹۸	۸/۳۷	۴۶/۳۵	۶/۳۰	۷/۰۱	۳۴/۶۸	۵۵/۴۸	۲/۸۳	۴۱/۴۰			A
۴۶/۶۸	۶/۴۹	۴۰/۱۸	۶/۶۵	۵/۰۴	۴۱/۸۷	۵۰/۰۹	۲/۲۰	۵۴/۶۴			B
۵۵/۱۱	۴/۹۳	۳۲/۶۵	۷/۳۱	۳/۰۷	۴۸/۲۲	۴۶/۸۲	۱/۱۹	۶۷/۷۰			C
۵۹/۲۷	۴/۰۷	۲۸/۶۶	۷/۵۰	۳/۲۱	۵۰/۹۳	۴۴/۰۷	۱/۱۹	۷۲/۷۰			D
۶۲/۴۶	۴/۳۳	۲۵/۴۳	۷/۶۸	۳/۹۲	۵۲/۹۵	۴۱/۰۴	۱/۰۹	۷۸/۰۰			E
۶۷/۵۷	۳/۰۹	۲۰/۹۴	۷/۹۰	۳/۴۲	۵۵/۳۶	۳۹/۷۵	۱/۴۷	۸۲/۴۰	$[\text{C}_4\text{C}_1\text{im}]\text{Br}$ (5 wt%)	$318/15^\circ\text{C}$	F
۷۱/۴۷	۲/۷۷	۱۴/۷۰	۸/۰۶	۲/۶۴	۵۸/۰۸	۳۷/۳۹	۱/۳۹	۸۸/۶۰			G
۴۷/۵۰	۴/۷۴	۴۷/۷۶	—	۲/۳۹	۳۵/۷۲	۶۱/۰۹	—	۵۴/۷۰			A
۵۶/۹۸	۲/۱۶	۳۹/۸۷	—	۱/۶۴	۴۰/۲۵	۵۸/۱۱	—	۶۶/۶۰			B
۶۵/۶۲	۲/۰۳	۳۲/۳۵	—	۱/۹۹	۴۵/۲۲	۵۲/۱۱	—	۷۶/۹۰			C
۷۳/۰۱	۱/۰۹	۲۵/۹۰	—	۰/۶۲	۵۱/۶۵	۴۷/۷۳	—	۸۸/۳۰			E
۸۱/۸۳	۰/۱۴	۱۸/۰۳	—	۲/۶۶	۵۵/۳۵	۴۱/۹۹	—	۹۶/۵۰			G
۴۵/۱۱	۵/۶۱	۴۲/۰۸	۷/۲۰	۴/۳۲	۳۴/۷۹	۵۸/۰۰	۲/۸۹	۵۰/۱۰			A
۵۲/۴۹	۴/۱۸	۳۵/۰۰	۸/۳۳	۳/۳۲	۴۰/۰۲	۵۳/۷۵	۲/۴۱	۶۱/۱۰			B
۵۹/۵۰	۳/۱۸	۲۸/۰۱	۹/۳۱	۲/۷۷	۴۶/۹۶	۴۸/۴۸	۲/۱۳	۷۱/۷۰			C
۶۶/۰۷	۲/۴۹	۲۲/۲۱	۹/۲۳	۲/۴۳	۵۳/۴۵	۴۲/۴۳	۱/۶۹	۸۱/۵۰			E
۷۳/۳۵	۱/۶۹	۱۵/۵۵	۹/۴۱	۱/۸۱	۵۹/۲۹	۳۷/۴۷	۱/۴۳	۹۱/۸۰			G

مقدار محاسباتی از معادله  $1 = \sum_i w_i^t = w_i^b$  به دست آمده که در آن  $w_i$  کسر وزنی گونه (بسپار ۱)، نمک (۲)، آب (۳) و مایع یونی (۴) در فاز بالا (t) و فاز پایین (b) است.



شکل ۳ نمودار فاز مثلثی سامانه دو فازی آبی سه‌تایی  $\{ \text{PEG } 600(1) + \text{K}_3\text{C}_6\text{H}_5\text{O}_7(2) + \text{H}_2\text{O}(3) \}$  (الف) و سامانه دو فازی آبی چهارتایی  $\{ \text{PEG } 600(1) + \text{K}_3\text{C}_6\text{H}_5\text{O}_7(2) + \text{H}_2\text{O}(3) + 5 \text{ wt\% } [\text{C}_4\text{C}_1\text{im}] \text{Br}(4) \}$  (ب) در دمای  $278/15 \text{ K}$  و فشار یک اتمسفر  
 ○ منحنی باینودال، ■ ترکیب تعادلی فاز، — خط ارتباطی که از اتصال داده‌های ترکیب تعادلی دو فاز همزیست بهدست آمده است)

آب با افزایش دما بستگی دارد که مربوط به اثر دما بر ساختار PEG و آبگریزترشدن آن است [۳۲ تا ۳۴]. الگوی مشابهی در مورد تأثیر دما بر نمودارهای فاز سایر سامانه‌های دو فازی آبی-بسپار-نمک مشاهده شده است [۳۵]. به طوری که در شکل ۴-۴ ب مشاهده می‌شود، به نظر می‌رسد که در نتیجه حضور مایع یونی، دما اثر چشمگیری بر تقویت تشکیل دو فاز در سامانه دو فازی آبی موردمطالعه ندارد.

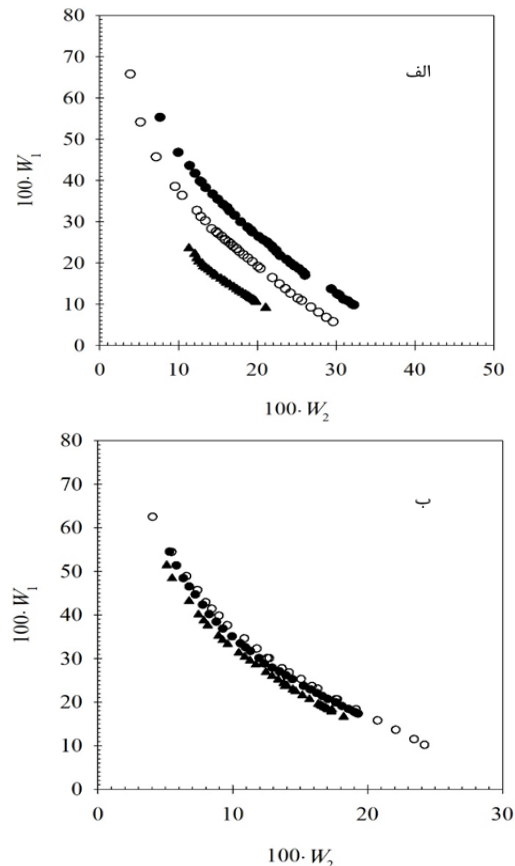
اثر مایع یونی  $[\text{C}_4\text{C}_1\text{im}] \text{Br}$  بر تشکیل سامانه‌های دوفازی آبی در دمای‌های متفاوت در سال‌های اخیر، اثر مایع یونی  $[\text{C}_4\text{C}_1\text{im}] \text{Br}$  به عنوان عامل کمکی، در تشکیل سامانه‌های دوفازی آبی متsshکل از بسپار ۶۰۰ PEG و نمک  $\text{K}_3\text{C}_6\text{H}_5\text{O}_7$  در دمای  $278/15 \text{ K}$  موردنظر قرار گرفته است [۱۸]. این مطالعه نشان می‌دهد که توانایی تشکیل دو فاز در سامانه‌های آبی مبتنی بر PEG موردمطالعه می‌تواند با افزودن مقداری کم (۵ درصد وزنی) از مایع یونی  $[\text{C}_4\text{C}_1\text{im}] \text{Br}$  افزایش یابد [۱۸]. در این کار پژوهشی، تصمیم گرفته شده تأثیر مایع یونی

#### اثر دما بر نمودار فاز

تأثیر دما بر منحنی باینودال سامانه‌های دوفازی آبی  $\{ \text{PEG } 5 \text{ wt\% } [\text{C}_4\text{C}_1\text{im}] \text{Br} + \text{PEG } 600 + \text{K}_3\text{C}_6\text{H}_5\text{O}_7 \}$  به ترتیب در شکل‌های ۴-الف و ۴-ب نشان داده شده است. در شکل ۴، ناحیه دو فازی بالای منحنی‌های باینودال قرار دارد، و هرچه این منطقه بزرگ‌تر باشد، توانایی تشکیل دو فاز در سامانه بیشتر است به طوری که برای نمک‌زدایی مقدار معینی از PEG به مقدار کمتری از نمک نیاز است. تجزیه و تحلیل منحنی‌های باینودال سامانه دوفازی آبی در شکل ۴-الف نشان می‌دهد که با افزایش دما از  $278/15 \text{ K}$  تا  $318/15 \text{ K}$ ، ناحیه دو فازی گسترش می‌یابد و تشکیل دو فاز آبی در غلظت‌های پایین تر نمک و PEG روی می‌دهد. به عبارت دیگر، اگر نمونه‌ای با یک ترکیب معین را از ناحیه تک فازی منحنی باینودال انتخاب کنیم، این مخلوط شفاف با افزایش دما کدر می‌شود و تشکیل دو فاز آبی را می‌دهد. گسترش ناحیه دو فازی در سامانه‌های موردمطالعه با افزایش دما، به کاهش انحلال پذیری PEG در

نگهداشته شده است. در شکل ۵، منحنی‌های بایندال سامانه‌های دوفازی آبی بدون مایع یونی  $[C_4C_1im]Br$  نیز برای مقایسه نشان داده شده است. مکان هندسی داده‌های تجربی منحنی‌های بایندال سامانه دوفازی آبی مورد مطالعه در دماهای  $318/15$ ،  $278/15$  و  $398/15$  در شکل ۵-الف و ۵-ب نشان می‌دهد که با افزایش مایع یونی  $[C_4C_1im]Br$  ناحیه دوفازی توسعه می‌یابد. به عبارت دیگر، مایع یونی موجب تقویت تشکیل سامانه دوفازی آبی بسپار-نمک موردمطالعه شده است. در حالی که، در دمای  $K = 318/15$  همان‌گونه که در شکل ۵-ج نشان داده شده است افزودن مایع یونی موجب کاهش منطقه دوفازی و درنتیجه تضعیف تشکیل سامانه دوفازی می‌شود. همچنان، با مقایسه شکل‌های ۵-الف تا ۵-ج مشاهده می‌شود که با افزایش دما تأثیر مایع یونی در تقویت تشکیل سامانه دوفازی آبی به طور چشمگیری کاهش می‌یابد، به طوری که در نهایت در دمای  $K = 318/15$  افزایش مایع یونی به سامانه نتیجه معکوس به دست می‌دهد. به نظر می‌رسد این رفتار تا حدود زیادی با برهم‌کنش‌های مطلوب/نامطلوب بین PEG و IL که خود تحت تأثیر دما است، هدایت می‌شود: (۱) برهم‌کنش‌های پیوند هیدروژنی بین گروه‌های OH انتهایی PEG و آئیون برمید مایع یونی [۳۶] تا [۳۹] که نقش پایه‌ای را در آسان‌کردن نمک‌زدایی PEG با نمک ایفا می‌کنند و بر عکس، (۲) برهم‌کنش‌های اکسیژن‌های اتری و گروه‌های اتیلن PEG با، به ترتیب، اتم‌های هیدروژن حلقة ایمیدازولیم (به ویژه  $C_2H$ ) و زنجیره جانبی آکلیل مایع یونی که موجب افزایش حلالیت PEG در آب (اثر نمک فزوئی) می‌شوند [۴۰]. در سامانه‌های دوفازی آبی مبتنی بر PEG موردمطالعه، تأثیر مایع یونی  $[C_4C_1im]Br$  بر توانایی سامانه در تشکیل دو فاز در دماهای متفاوت (شکل ۵) تا حدود زیادی به ماهیت آبدوستی PEG و ظرفیت آن برای تشکیل برهم‌کنش‌های پیوند هیدروژنی آب/PEG در دماهای متفاوت بستگی دارد.

$[C_4C_1im]Br$  را در سامانه‌های دوفازی آبی در دماهای متفاوت بررسی کنیم، منحنی‌های بایندال سامانه دوفازی  $PEG\ 600 + K_3C_6H_5O_7\ 5\ wt\% [C_4C_1im]Br$  در دماهای  $318/15$ ،  $278/15$  و  $398/15$  به ترتیب در شکل‌های ۵-الف، ۵-ب و ۵-ج نشان داده شده است.



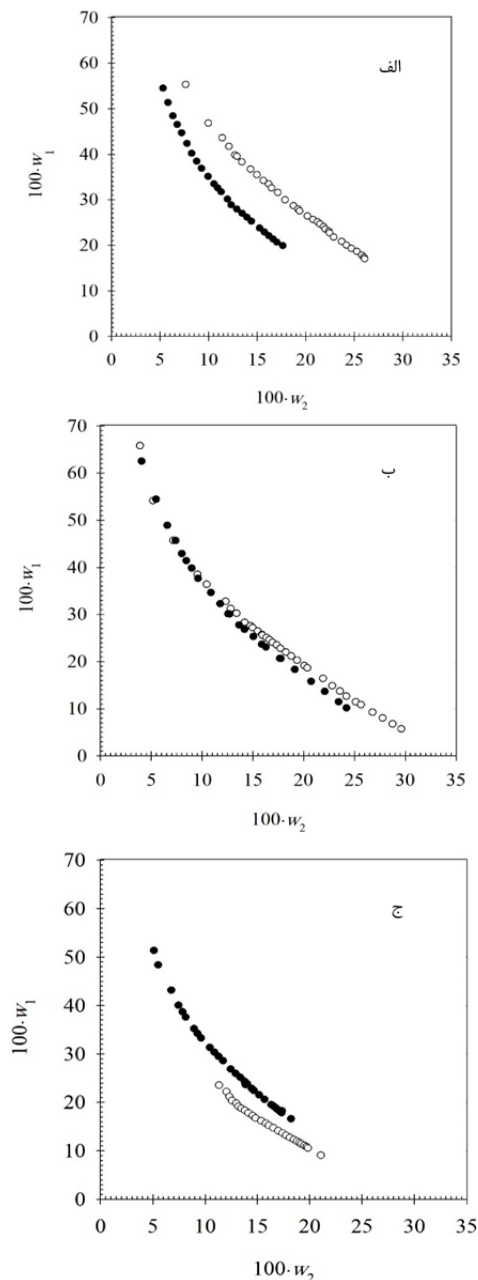
شکل ۴ اثر دما بر منحنی بایندال سامانه دوفازی آبی  $\{PEG\ 600\ (1) + K_3C_6H_5O_7\ (2)\}$  بدون مایع یونی (الف) و با  $5\ wt\% [C_4C_1im]Br$  (ب)

لازم به ذکر است که غلظت مایع یونی  $[C_4C_1im]Br$  در همه منحنی‌های بایندال ثابت (یعنی ۵ درصد وزنی)

ماهیت آب دوستی PEG می تواند به طور چشمگیری تحت تأثیر برهم کنش های  $H(OH)(PEG) \cdots Br$  کاهش یابد (شکل ۵-الف). در حضور مایع یونی با افزایش آب گریزی PEG با افزایش دما [۳۲ تا ۳۴٪] سهم برهم کنش های مایع یونی با PEG که موجب افزایش حلایت PEG در آب می شود، افزایش می یابد، به طوری که در یک دمای معین منجر به دشوارتر شدن نمک زدایی PEG با نمک می شوند (شکل ۵-ج).

توزیع مایع یونی  $[C_4C_1im]Br$  بین دو فاز در سامانه دو فازی آبی

برای ارزیابی امکان کاربرد مایع یونی  $[C_4C_1im]Br$  به عنوان عامل کمکی، برای افزایش ظرفیت استخراج سامانه دو فازی آبی بسپار-نمک موردمطالعه، رفتار توزیع بین دو فاز آبی مایع یونی  $[C_4C_1im]Br$  نیز بررسی شد. بدین ترتیب، با معادله ۲ و غلظتها متناظر،  $w_4$  ارایه شده در جدول ۴، ضرایب توزیع مایع یونی  $K_{IL}$ ، در سامانه دو فازی آبی  $\{PEG\} 600 + K_3C_6H_5O_7$  در دماهای ۳۱۸/۱۵ و ۲۷۸/۱۵ K و فشار اتمسفر محاسبه و نتیجه های بدست آمده در جدول ۵ ارایه شده است. شکل ۶ طرحواره ای از تغییرهای  $K_{IL}$  بر حسب دما و طول خطوط ارتباطی، TLL، را نشان می دهد. همان طور که مشاهده می شود ضرایب توزیع مایع یونی  $K_{IL}$  در همه ترکیب درصدها و در همه دماها بزرگتر از یک است؛ یعنی، مایع یونی  $[C_4C_1im]Br$  به فاز بالای غنی از بسپار (فاز آب گریز) تمایل دارد. همچنین، مشاهده می شود با افزایش طول خطوط ارتباطی در هر دما، به دلیل متمایز تر شدن ویژگی فیزیکو شیمیایی دو فاز، ضرایب توزیع مایع یونی افزایش می یابد. در یک دمای معین، افزایش اثرات نمک زدایی ناشی از افزایش غلظت نمک و افزایش برهم کنش های بین PEG و مایع یونی ناشی از افزایش غلظت PEG و کاهش آب در فاز بالا می تواند دلیل انتقال ترجیحی مایع یونی  $[C_4C_1im]Br$  به فاز بالا باشد [۲۰].



شکل ۵ اثر مایع یونی بر منحنی باینودال سامانه دو فازی آبی  $\{PEG\} 600 (1) + K_3C_6H_5O_7 (2)$  در دمای K ۲۷۸/۱۵ (الف)، ۳۱۸/۱۵ (ب) و ۳۱۸/۱۸ (ج) ((○ بدون مایع یونی، ● با ۵ wt% مایع یونی  $[C_4C_1im]Br$ ))

سامانه دوفازی آبی موردمطالعه با افزایش دما از ۲۷۸/۱۵ به ۳۱۸/۱۵ K، یک مقدار بیشینه را در دمای K ۲۹۸/۱۵ نشان می‌دهد. اگرچه، سازوکار حاکم بر توزیع مایع‌های یونی در سامانه‌های دوفازی آبی مبتنی بر PEG بسیار پیچیده است و هنوز به طور کامل درک نشده است؛ ولی، برپایه ضرایب توزیع گزارش شده در منابع علمی، می‌توان نتیجه گرفت که تمایل انتقال مایع یونی به فاز بالا (فاز غنی از PEG) نتیجه برایند برهم‌کنش‌های آب‌گریز، پیوند هیدروژنی [۳۶ تا ۴۰]، الکترواستاتیک، اثرات نمک زدایی، و برهم‌کنش‌های ویژه بین PEG و مایع‌های یونی است [۷ و ۱۴ تا ۲۸] که بدینهی است خود تحت تأثیر ترکیب سامانه و دما [۲۰] هستند.

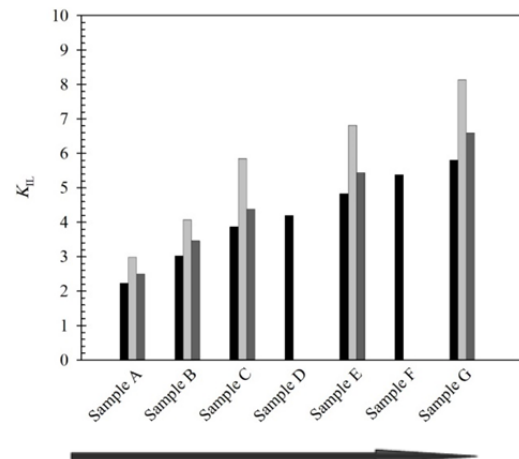
### نتیجه‌گیری

در این کار پژوهشی اثر مایع یونی ۱-بوتیل-۳-متیل ایمیدازولیم بر مید  $([C_4C_1im]Br)$  بر تشکیل دوفاز در سامانه آبی بر پایه بسیار پلی‌اتیلن گلیکول ۶۰۰ و نمک پتاسیم سیترات در دماهای متفاوت بررسی شد. در این راسته، نمودار فاز (منحنی باینودال و خطوط ارتباطی) سامانه دوفازی آبی  $\{PEG\ 600 + K_3C_6H_5O_7 + 5\text{ wt}\% [C_4C_1im]Br\}$  با افزودن مقادیر کمی (حدود ۵ درصد وزنی) از مایع یونی  $[C_4C_1im]Br$  در دو دمای ۲۷۸/۱۵ و ۳۱۸/۱۵ و فشار ۱ اتمسفر تعیین شد. نتیجه‌های به دست آمده در این کار پژوهشی نشان می‌دهد که با افزایش دما تأثیر مایع یونی در تقویت تشکیل سامانه دوفازی آبی به طور چشمگیری کاهش می‌یابد، به طوری که در نهایت در دمای K ۳۱۸/۱۵ افزایش مایع یونی به سامانه نتیجه معکوس به دست می‌دهد. به نظر می‌رسد که در سامانه‌های دوفازی آبی مبتنی بر PEG موردمطالعه، تأثیر مایع یونی  $[C_4C_1im]Br$  بر توانایی سامانه در تشکیل دوفاز در دماهای متفاوت تا حدود زیادی به ماهیت آب‌دوستی PEG و ظرفیت آن برای تشکیل برهم‌کنش‌های پیوند هیدروژنی آب / PEG در دماهای متفاوت بستگی دارد. ماهیت آب‌دوستی PEG می‌تواند

مایع‌های یونی که بیشتر تمایل به فاز استخراج کننده (فاز غنی از PEG) دارند، می‌توانند ظرفیت این سامانه‌ها را برای استخراج مولکول‌هایی که برهم‌کنش‌های ویژه و قوی با مایع‌های یونی دارند، افزایش دهند [۷ و ۱۴ تا ۲۸].

جدول ۵ ضرایب توزیع مایع یونی  $[C_4C_1im]Br$  در سامانه دوفازی آبی  $\{PEG\ 600 + K_3C_6H_5O_7 + 5\text{ wt}\% [C_4C_1im]Br\}$  در دو دمای ۲۷۸/۱۵ و K ۳۱۸/۱۵ و فشار یک اتمسفر

نمونه							T (K)
G	F	E	D	C	B	A	
۵,۸۱	۵,۳۸	۴,۸۳	۴,۲۰	۳,۸۷	۳,۰۳	۲,۲۳	۲۷۸/۱۵
۶,۶۰	---	۵,۱۴	---	۴,۳۸	۳,۴۶	۲,۴۹	۳۱۸/۱۵



افراش طول خطوط ارتباطی

شکل ۶ اثر دما بر توزیع بین دوفاز مایع یونی  $[C_4C_1im]Br$  در سامانه دوفازی آبی  $\{PEG\ 600 + K_3C_6H_5O_7 + 5\text{ wt}\% [C_4C_1im]Br\}$  در دمای ۳۱۸/۱۵ K [■] و ۲۹۸/۱۵ K [■■]

اثر دما بر توزیع مایع یونی  $[C_4C_1im]Br$  بین دوفاز اثر دما بر روی رفتار توزیع بین دوفاز مایع یونی  $\{PEG\ 600 + K_3C_6H_5O_7 + 5\text{ wt}\% [C_4C_1im]Br\}$  در سامانه دوفازی آبی در شکل ۶ نشان داده شده است. همان‌طوری که مشاهده می‌شود ضرایب توزیع مایع یونی در

افزایش می‌یابد. مایع‌های یونی که تمایل به فاز استخراج کننده (فاز غنی از PEG) دارند، می‌توانند ظرفیت این سامانه‌ها را برای استخراج مولکول‌هایی که برهم‌کنش‌های ویژه و قوی با مایع‌های یونی دارند، افزایش دهند.

به‌طورکلی، برپایه نتیجه‌های این کار پژوهشی، مایع‌های یونی می‌توانند به عنوان عامل کمکی در کنترل رفتار فازی و قابلیت استخراج سامانه‌های دوفازی آبی بسیار نمک به کار روند و موجب پیشرفت فرایندهای جداسازی زیست‌فناوری به ویژه در استخراج مولکول‌های زیستی شوند. همچنین، می‌توان به جای روش عامل‌دارکردن پلی‌اتیلن گلیکول که هزینه بالاتری دارد، به کارگرفته شوند.

به‌طور قابل توجهی تحت تأثیر برهم‌کنش‌های H(OH)(PEG) کاهاش یابد. در حضور مایع یونی با افزایش آب‌گریزی PEG با افزایش دما سهم برهم‌کنش‌های مایع یونی با PEG که موجب افزایش حلایت PEG در آب می‌شود، افزایش می‌یابد، به‌طوری که در یک دمای معین منجر به دشوارتر شدن نمک‌زدایی PEG با نمک می‌شوند. ضرایب توزیع مایع یونی،  $K_{IL}$ ، به دست آمده در همه ترکیب‌درصد‌ها و در همه دمایاها بزرگ‌تر از یک است؛ یعنی، مایع یونی  $[C_4C_1im]Br$  به فاز بالای غنی از بسیار (فاز آب‌گریز) تمایل دارد. همچنین، مشاهده می‌شود با افزایش طول خطوط ارتباطی در هر دما، به دلیل متایزتر شدن ویژگی فیزیکو‌شیمیایی دو فاز ضرایب توزیع مایع یونی

## مراجع

- [1] Albertsson, P.-Å.; *Nature* 182, 709-711, 1958.
- [2] Albertsson, P.-Å.; "Partition of cell particles and macromolecules: separation and purification of biomolecules, cell organelles, membranes, and cells in aqueous polymer two-phase systems and their use in biochemical analysis and biotechnology", Wiley, New York, 1986.
- [3] Walter, H.; Brooks, D.E.; Fisher, D.; "Partitioning In Aqueous Two-Phase System: Theory, Methods, Uses, And Applications To Biotechnology", Academic Press, Toronto, 1985.
- [4] Zaslavsky, B.Y.; "Aqueous two-phase partitioning: physical chemistry and bioanalytical applications", CRC Press, U.S., 1994.
- [5] Hatti-Kaul, R. (Ed.); "Aqueous two-phase systems: methods and protocols", Humana Press, New Jersey, 2000.
- [6] Hatti-Kaul, R.; *Mol. Biotechnol.* 19, 269-277, 2001.
- [7] Pereira, J.F.; Lima, Á.S.; Freire, M.G.; Coutinho, J.A.; *Green Chem.* 12, 1661-1669, 2010.
- [8] Wilkes, J.S.; *Green Chem.* 4, 73-80, 2002.
- [9] Rogers, R.D.; Seddon, K.R.; *Science* 302, 792-793, 2003.
- [10] Zhang, S.; Sun, N.; He, X.; Lu, X.; Zhang, X.; *J. Phys. Chem. Ref. Data* 35, 1475-1517, 2006.
- [11] Gutowski, K.E.; Broker, G.A.; Willauer, H.D.; Huddleston, J.G.; Swatloski, R.P.; Holbrey, J.D.; Rogers, R.D.; *J. Am. Chem. Soc.* 125, 6632-6633, 2003.
- [12] Freire, M.G.; Claudio, A.F.M.; Araujo, J.M.; Coutinho, J.A.; Marrucho, I.M.; Lopes, J.N.C.; Rebelo, L.P.N.; *Chem. Soc. Rev.* 41, 4966-4995, 2012.
- [13] Freire, M.G.; "Ionic-liquid-based aqueous biphasic systems", Springer, Berlin, 2016.
- [14] de Souza, R.L.; Campos, V.C.; Ventura, S.P.; Soares, C.M.; Coutinho, J.A.; Lima, Á.S.; *Fluid Phase Equilib.* 375, 30-36, 2014.
- [15] Almeida, M.R.; Passos, H.; Pereira, M.M.; Lima, Á.S.; Coutinho, J.A.; Freire, M.G.; *Sep. Purif. Technol.* 128, 1-10, 2014.

- [16] Souza, R.L.; Ventura, S.P.M.; Soares, C.M.F.; Coutinho, J.A.P.; Lima, Á.S.; Green Chem. 17, 3026-3034, 2015.
- [17] Hamzehzadeh, S.; Vasiresh, M.; Fluid Phase Equilib. 382, 80-88, 2014.
- [18] Hamzehzadeh, S.; Abbasi, M.; J. Chem. Thermodyn. 80, 102-111, 2015.
- [19] Hamzehzadeh, S.; Majouy, A.; Mokhtarani, B.; J. Mol. Liq. 213, 235-246, 2016.
- [20] Hamzehzadeh, S.; Touri, S.; Biotechnol. Prog. 34, 1149-1166, 2018.
- [21] Santos, J.H.P.M.; Martins, M.; Silva, A.R.P.; Cunha, J.R.; Rangel-Yagui, C.O.; Ventura, S.P.M.; J. Chem. Eng. Data 65, 3794-3800, 2020.
- [22] Marchel, M.; João, K.G.; Marrucho, I.M.; Sep. Purif. Technol. 210, 710-718, 2019.
- [23] Ferreira, A.M.; Faustino, V.F.; Mondal, D.; Coutinho, J.A.; Freire, M.G.; J. Biotechnol. 236, 166-175, 2016.
- [24] Rita de Cássia, S.S.; Pereira, M.M.; Freire, M.G.; Coutinho, J.A.P.; Sep. Purif. Technol. 196, 244-253, 2018.
- [25] Neves, C.M.; Rita de Cássia, S.S.; Pereira, M.M.; Freire, M.G.; Coutinho, J.A.; Biochem. Eng. J. 141, 239-246, 2019.
- [26] Marchel, M.; Soares, H.R.; Vormittag, P.; Hubbuch, J.; Coroadinha, A.S.; Marrucho, I.M.; Engineering Reports 1, e12030, 2019.
- [27] Jocić, A.; Marić, S.; Dimitrijević, A.; Tot, A.; Gadžurić, S.; Vraneš, M.; Trtić-Petrović, T.; J. Mol. Liq. 303, 112484-112493, 2020.
- [28] Tang, N.; Wang, Y.; Liu, M.; Liu, L.; Yin, C.; Yang, X.; Wang, S.; Sep. Purif. Technol. 246, 116898-116907, 2020.
- [29] Vernau, J.; Kula, M.R.; Biotechnol. Appl. Biochem. 12, 397-404, 1990.
- [30] Ting, A.M.; Lynn, S.; Prausnitz, J.M.; J. Chem. Eng. Data 37, 252-259, 1992.
- [31] Cheluget, E.L.; Gelinas, S.; Vera, J.H.; Weber, M.E.; J. Chem. Eng. Data 39, 127-130, 1994.
- [32] Hartounian, H.; Floeter, E.; Kaler, E.; Sandler, S.; AIChE J. 39, 1976-1984, 1993.
- [33] Bailey, F.; Callard, R.; J. Appl. Polym. Sci. 1, 56-62, 1959.
- [34] Bjoerling, M.; Karlstroem, G.; Linse, P.; J. Phys. Chem. 95, 6706-6709, 1991.
- [35] Tubío, G.; Pellegrini, L.; Nerli, B.B.; Picó, G.A.; J. Chem. Eng. Data 51, 209-212, 2006.
- [36] Remsing, R.C.; Swatloski, R.P.; Rogers, R.D.; Moyna, G.; Chem. Commun. 12, 1271-1273, 2006.
- [37] Rodríguez, H.; Francisco, M.; Rahman, M.; Sun, N.; Rogers, R.D.; Phys. Chem. Chem. Phys. 11, 10916-10922, 2009.
- [38] Rodríguez, H.; Rogers, R.D.; Fluid Phase Equilib. 294, 7-14, 2010.
- [39] Tomé, L.I.N.; Pereira, J.F.B.; Rogers, R.D.; Freire, M.G.; Gomes, J.R.B.; Coutinho, J.A.P.; J. Phys. Chem. B 118, 4615-4629, 2014.
- [40] Visak, Z.P.; Lopes, J.N.C.; Rebelo, L.P.N.; Monatsh. Chem. 138, 1153-1157, 2007.

## Effect of the ionic liquid 1-butyl-3-methyl-imidazolium bromide as adjuvant on the formation of {PEG 600-potassium citrate} aqueous biphasic system at different temperatures

Sholeh Hamzehzadeh<sup>1,\*</sup>, Mostafa Abbasi<sup>2</sup>

1. Assistant Prof. of Physical Chemistry, Chemistry and Chemical Engineering Research Center of Iran, Tehran, Iran.

2. M.Sc. Student in Physical Chemistry, Chemistry and Chemical Engineering Research Center of Iran, Tehran, Iran.

**Abstract:** In biotechnology, separation, extraction, and purification of biomolecules using aqueous biphasic systems, as environmental and economic sustainable alternatives for conventional water-organic solvent extraction techniques, have always been the focus of great attention and examination. One approach proposed by researchers is based on the use of ionic liquids (ILs) as adjuvants in ABS, making the capability of these systems for the extraction of biomolecules to be promoted. In this regard, this work is devoted to study the effect of IL 1-butyl-3-methyl imidazolium bromide ( $[C_4C_1im]Br$ ) on the formation of ABS composed of a polyethylene glycol (PEG) with molecular weight 600 and a biodegradable organic salt potassium citrate. For this purpose, the binodal curves and the liquid-liquid equilibrium (LLE) data of the studied ABS, along with the partition coefficients of  $[C_4C_1im]Br$  were determined at two temperatures of 278.15 K and 318.15 K. The obtained results indicated that the ability of  $[C_4C_1im]Br$  to promote the formation of the studied ABS decreased with increasing temperature, so that at 318.15 K, the addition of IL made the formation of two-phase system more difficult. In addition,  $[C_4C_1im]Br$  displayed the partition coefficient greater than one for all the studied compositions and temperatures, which increased with increasing TLL at a given temperature.

**Keywords:** Aqueous biphasic system, Phase diagram, Polyethylene glycol, Potassium citrate, Ionic liquid, Temperature